

不同干燥工艺对莲子品质的影响

曾绍校, 梁 静, 郑宝东*, 赵扬帆, 林鸳缘

(福建农林大学食品科学技术研究所, 福州 350002)

摘要: 为深入了解不同干燥工艺对莲子干燥后品质的影响, 该文以干燥后莲子的收缩率、复水率、抗性淀粉(RS)含量、色泽和组织结构为考察对象, 研究了自然干燥、热风干燥、真空干燥、冷冻干燥、微波干燥和微波—热风联合干燥等 6 种不同干燥工艺对莲子品质的影响。结果表明: 微波—热风联合干燥莲子的收缩率小, 复水率高, RS 含量低, 色泽与莲子原始指标较接近, 且能够较好地保持莲子的原始组织结构; 微波干燥莲子的品质仅次于微波—热风联合干燥莲子; 冷冻干燥莲子的收缩率和复水率均最佳, 但 RS 含量高, 色泽较莲子原始指标差, 且组织结构发生了明显的变形和皱缩; 自然干燥、热风干燥、真空干燥莲子的品质均较差。综合考虑, 微波—热风联合干燥后的莲子除 RS 含量较低外, 其他品质均较优, 可作为最佳干燥方法应用于生产。

关键词: 莲子; 干燥工艺; 收缩率; 复水率; 抗性淀粉; 色泽; 组织结构

中图分类号: TS205.1

文献标识码: A

文章编号: 1002-6819(2007)5-0227-05

曾绍校, 梁 静, 郑宝东. 不同干燥工艺对莲子品质的影响[J]. 农业工程学报, 2007, 23(5): 227– 231.

Zeng Shaoxiao, Liang Jing, Zheng Baodong, et al. Effects of different drying technology on the quality of lotus-seed[J]. Transactions of the CSAE, 2007, 23(5): 227– 231. (in Chinese with English abstract)

0 引言

干燥过程中物料的物理、化学变化会直接影响到终产品品质, 有关干燥产品品质的研究成为近年来的热点。品质是指干燥后产品的质量特性, 主要包括: 结构特性(容积密度、孔隙率、孔隙尺寸、真密度), 视觉特性(颜色、表观), 感官特性(风味、滋味、香气), 营养特性(维生素、蛋白质等), 复水特性(复水速率、复水能力)等^[1]。目前, 不同干燥方法对苹果、胡萝卜等农产品品质的影响有较多的研究, 但对于莲子的相关研究仍处于空白阶段。传统的莲子干燥方法是利用太阳晒或炭火烘烤, 只适宜分散小批量烘烤, 且火候难控制, 耗时长, 费工多, 易烤焦; 而近年来采用的烘干房虽克服了传统烘烤的缺点, 但占地面积大, 建造要求高, 在莲子采收旺季, 其加工量远远满足不了市场的需求。因此, 本研究采用莲子为原料, 以干燥后莲子收缩率、复水率、抗性淀粉(RS)含量、色泽和组织结构为对象, 探讨了自然干燥、热风干燥、真空干燥、冷冻干燥、微波干燥和微波—热风联合干燥等 6 种不同干燥工艺对莲子品质的影响, 以期明确不

同干燥工艺的加工特性, 为莲子的进一步加工利用提供参考。

1 材料与方法

1.1 材料

1.1.1 试验材料

莲子: 花排莲, 采于福建建宁, 带莲蓬采集, 当天运抵福州, 置于 20℃室温以下并保持室内湿度, 用时剥壳、去膜、去芯。

1.1.2 主要试剂

酸性蛋白酶(50000 U/g, 固体酶, 天津利华酶制剂技术有限公司); 耐高温 α -淀粉酶(2000 U/g, 固体酶, 杰能科公司); 葡萄糖淀粉酶(50000 U/g, 固体酶, 天津利华酶制剂技术有限公司); 其他试剂均为化学纯或分析纯。

1.2 主要仪器与设备

M 700 微波炉(广东美的微波炉制造有限公司); TDL-5 型低速台式大容量离心机(上海安亭科学仪器厂); UV-2000 型紫外可见分光光度计(尤尼柯仪器上海有限公司); RT-02 型二两装高速中药粉碎机(永康市屹立工具厂); SHA-C 型恒温振荡器(常州国华电器有限公司); HQ-60 型漩涡分离器(上海武定电器厂); WSC-S 型测色色差计(上海精密科学仪器有限公司); JSM-5310LV 型扫描电镜(日本电子)。

1.3 试验方法

取相同质量的莲子, 分别采用 6 种不同干燥工艺将

收稿日期: 2006-04-03 修订日期: 2006-07-19

基金项目: 福建省自然科学基金计划资助项目(T0650021)

作者简介: 曾绍校(1980-), 男, 博士生, 研究方向为农产品加工与贮藏。福州市西门坑里 18 号 福建农林大学食品科学技术研究所, 350002

*通讯作者: 郑宝东, 博士, 教授, 主要从事农产品加工与贮藏方面的研究。福州市西门坑里 18 号 福建农林大学食品科学技术研究所, 350002。Email: zbdfst@163.com

其干燥至安全含水率(< 13% (以干基计))后, 测定其收缩率、复水率、抗性淀粉(RS)含量、色泽和组织结构变化。具体的试验条件如下:

自然干燥: 阳光直射, 室外温度为 35~40℃, 干燥时间 3~5 d;

热风干燥: 温度 60℃, 干燥时间约 24 h;

真空干燥: 温度 60℃, 真空度 0.095 MPa, 干燥时间约 18 h;

冷冻干燥: 温度 -40℃, 真空度 12 kPa, 干燥时间为 48 h;

微波干燥: 微波功率 385 W, 干燥时间约 30 min;

微波-热风联合干燥: 采用两段式干燥方法, 即在装载量 200 g 的条件下, 采用 539 W 微波功率将莲子干燥至含水率 30% (转换水分), 时间约为 12 min, 再用温度 70℃ 的热风干燥至安全含水率。

1.3.1 收缩率的测定

取 100 g 新鲜莲子, 用石英砂排除法分别测定干燥前后莲子的体积, 直接以下列公式计算^[2]。

$$V = V_2 - V_1$$

式中 V —干燥后莲子的体积, mL; V_1 —石英砂的体积, mL; V_2 —石英砂和莲子的总体积, mL。

1.3.2 复水率的测定

取干燥后莲子样品 m_g , 加入 60℃ 水 200 mL, 恒温浸泡 30 min, 取出沥水 5 min 后, 称重, 记为 m_f 。复水率(R)计算公式如下^[3,4]

$$R = m_f/m_g \times 100\%$$

式中 R —复水率; m_f —复水后的物料质量, g; m_g —复水前的干物料质量, g。

1.3.3 RS 含量的测定

将莲子样品碾磨后, 采用淀粉酶法测定莲子中的 RS 含量。计算公式如下^[5]

$$RS(g) = \frac{F \times 0.9 \times 100}{V \times 1000}$$

式中 RS —抗性淀粉, g; F —10 mL 碱性酒石酸铜溶液(甲、乙各 5 mL) 相当于葡萄糖的质量, mg; V —测定时平均消耗的样品溶液体积, mL; 100—样品溶液总体积, mL。

1.3.4 色泽的测定

色泽参数: L 值 (Lightness, 亮度), 在 0~100 之间, 0 表示黑色, 100 表示白色; a 值 (Redness, 红色度), 表示红绿之间的色泽, 100 为红色, -80 为绿色; b 值 (Yellowness, 黄色度), 表示黄蓝之间的色泽, 100 为黄色, -80 为蓝色。根据基本色泽参数 L 、 a 、 b 值, 还可以衍生出许多反映颜色的模型参数如: H (Hue, 色调)、 La/b 和 C (Chroma, 饱和度) 等。色调是颜色的基

本特征, 一般以色泽角 H ° 或色泽比 a/b 表示, 在 0°~360° 之间连续变化; 饱和度, 又称纯度, 表示含色的多少, 其数值在 0°~60° 之间变化, 低饱和度意味着色泽稀疏暗淡, 而高饱和度则表示饱满、强烈的颜色。

色泽参数测定: 采用 WSC-S 型测色色差计测定, 测量口直径为 20 mm, 以陶瓷标准板 ($X = 73.06, Y = 77.12, Z = 80.10$) 作为工作标准, 由 CIE 三刺激值 X 、 Y 、 Z 自动计算出相应的 L 、 a 、 b 值。

1.3.5 组织结构的测定

采用扫描电镜进行观察, 操作方法参照文献[6]。

2 结果与分析

2.1 不同干燥工艺对莲子收缩率的影响

不同干燥工艺对莲子收缩率的影响见图 1, 按莲子体积的收缩程度可排列为: 冷冻干燥< 微波干燥< 微波-热风联合干燥< 热风干燥< 自然干燥< 真空干燥。在干燥过程中, 由于水分的蒸发会导致物料收缩。真空干燥的莲子收缩率最大, 这是由于组织细胞间充满了空气, 真空状态会对莲子形成负压, 加大细胞组织的收缩。微波干燥时水分蒸发速度较快, 且水气由内往外扩散, 产生一定的膨化效应, 因此其收缩率相对较小。冷冻干燥莲子的收缩率最小, 基本与新鲜莲子的体积大小保持一致, 这是由于冷冻干燥下莲子中的水分从冰晶状态下直接升华, 所占空间仍然保留, 可基本保持其原有形状。但其表面结构发生部分塌陷, 严重影响其外观品质, 这可能是由于莲子水分含量较高, 降低了无定形基质的粘弹性, 当水分升华后, 由于重力的作用, 细胞结构无法保持原状, 便产生了塌陷^[1]。

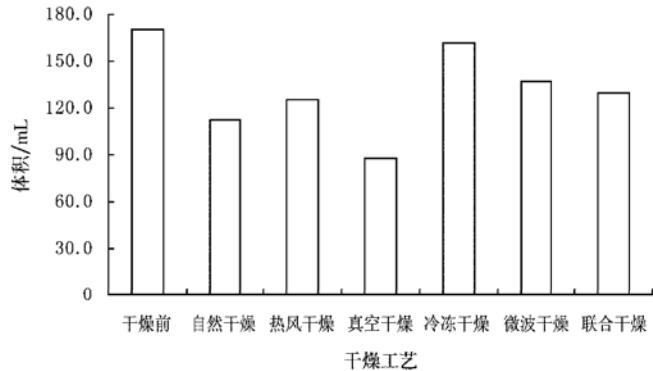


图 1 不同干燥工艺对莲子收缩率的影响

Fig. 1 Effects of different drying technology on the shrinkage

2.2 不同干燥工艺对莲子复水率的影响

从表 1 可知, 冷冻干燥莲子的复水率最高, 复水性能最好, 复水率为 275.10%, 其次为微波-热风联合干

燥,其复水率为265.20%,表明莲子细胞的受破坏程度较低;自然干燥、热风干燥、真空干燥和微波干燥莲子的复水率较低。产品的复水性主要取决于物料细胞和结构的破坏程度。在干燥过程中,物料内部发生了不可逆转的细胞破坏和错位,导致细胞完整性丧失,毛细管收缩,组织结构塌陷,从而降低亲水性能^[1]。一般情况下,冷冻干燥的产品具有较好的复水性能,热风干燥、真空干燥、微波干燥等的产品复水性能相对较差,微波干燥对某些物料细胞壁具有破坏作用,可以增加产品复水初期的复水速率,但会降低产品的复水能力。

表1 不同干燥工艺对复水率的影响

Table 1 Effects of different drying technology on the rehydration ratio

| 干燥工艺 | 复水率/% |
|-----------|--------|
| 自然干燥 | 231.30 |
| 热风干燥 | 238.39 |
| 真空干燥 | 226.72 |
| 冷冻干燥 | 275.10 |
| 微波干燥 | 247.05 |
| 微波—热风联合干燥 | 265.20 |

2.3 不同干燥工艺对莲子RS含量的影响

抗性淀粉(resistant starch, RS)是指“不能在健康正常人小肠中消化吸收的淀粉及其降解物”^[7,8],由于其具有降低血脂^[9]等诸多生理功效,近年来成为营养学界的研究热点。食品中RS的形成与加工条件密切相关^[10,11],从表2可知,自然干燥、热风干燥、真空干燥和冷冻干燥莲子的RS含量较高,占莲子质量的比例均达30%以上,微波—热风联合干燥和微波干燥莲子的RS含量较低,仅占莲子质量的3%左右。表明莲子经微波加热后,淀粉性质可能发生改变,微波加热能显著降低莲子中的RS含量。

表2 不同干燥工艺对莲子RS含量的影响

Table 2 Effects of different drying technology on the mass of resistant starch

| 干燥工艺 | RS占淀粉比例/% | RS占莲子比例/% |
|-----------|-----------|-----------|
| 干燥前 | 86.514 | 38.192 |
| 自然干燥 | 82.020 | 33.694 |
| 热风干燥 | 83.038 | 30.170 |
| 真空干燥 | 86.279 | 34.277 |
| 冷冻干燥 | 83.967 | 34.240 |
| 微波干燥 | 7.564 | 3.309 |
| 微波—热风联合干燥 | 8.748 | 3.798 |

2.4 不同干燥工艺对莲子色泽的影响

从表3可以看出,6种干燥工艺加工的莲子色泽以

微波—热风联合干燥最佳,最接近于莲子的原始色泽参数值,其次为微波干燥和真空干燥,自然干燥、热风干燥、冷冻干燥莲子的色泽均较差。从单一的色泽参数来看,冷冻干燥莲子的亮度L、红色度a、黄色度b、La/b值和饱和度C均低于其它干燥工艺,表明冷冻干燥对莲子色泽的影响最大,亮度、红色度和黄色度下降最明显。

表3 不同干燥工艺对莲子色泽参数的影响

Table 3 Effects of different drying technology on indexes of colour

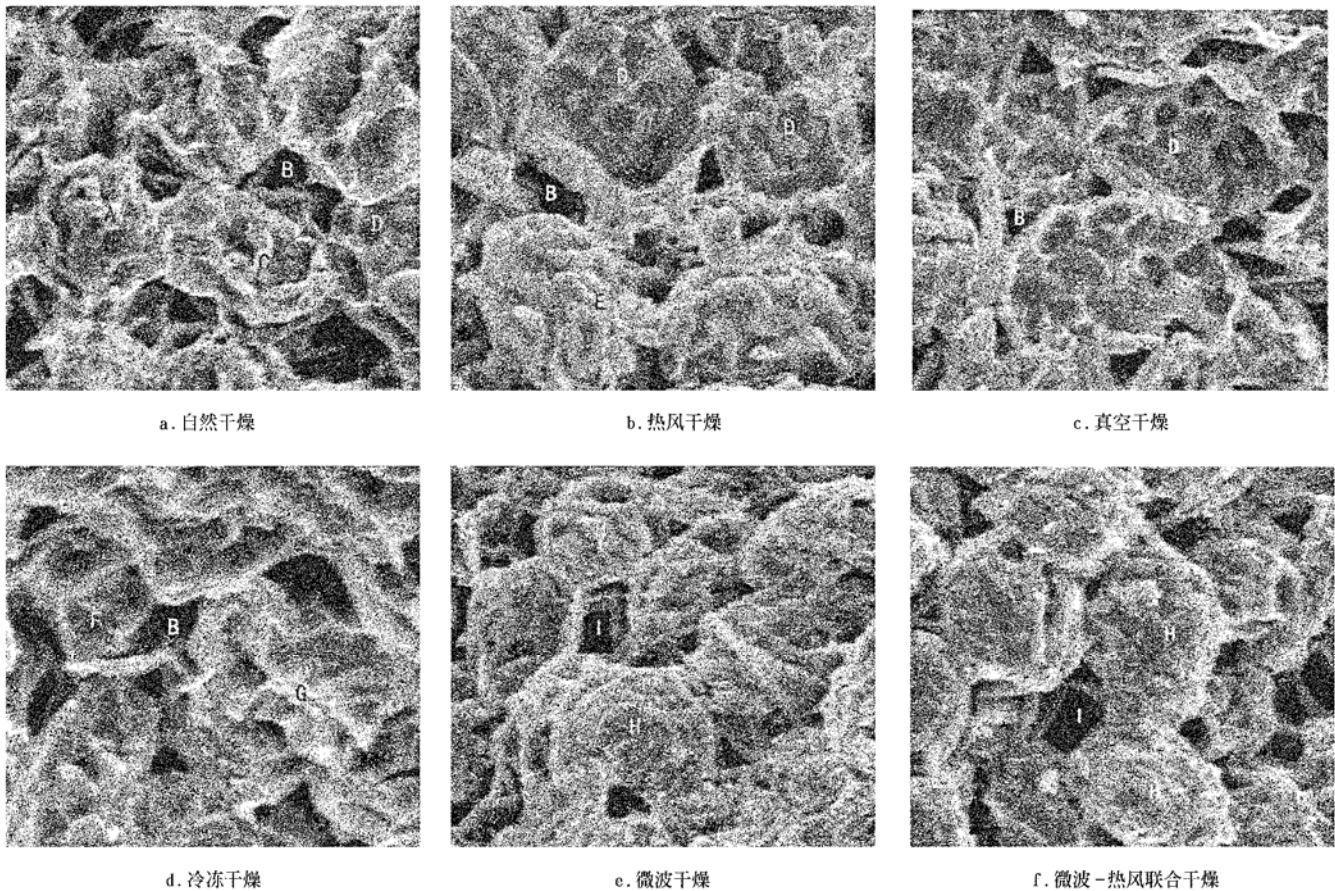
| 干燥工艺 | L | a | b | H° | La/b | C |
|-----------|-------|------|-------|------|-------|-------|
| 干燥前 | 72.87 | 7.10 | 24.03 | 1.28 | 21.53 | 25.06 |
| 自然干燥 | 74.97 | 9.12 | 21.94 | 1.18 | 31.16 | 23.76 |
| 热风干燥 | 76.52 | 5.92 | 25.38 | 1.34 | 17.84 | 26.06 |
| 真空干燥 | 72.10 | 8.39 | 25.88 | 1.26 | 23.38 | 27.20 |
| 冷冻干燥 | 69.62 | 2.23 | 21.38 | 1.47 | 7.26 | 21.50 |
| 微波干燥 | 70.98 | 8.60 | 25.06 | 1.24 | 24.36 | 26.50 |
| 微波—热风联合干燥 | 73.02 | 8.35 | 24.54 | 1.24 | 24.85 | 25.92 |

2.5 不同干燥工艺对莲子组织结构的影响

6种不同干燥工艺对干燥后莲子组织结构的扫描电镜图见图2。从图中可以看出,莲子内部细胞呈现出有规则的层叠排列结构,这种结构具有较强的机械性能和保护性能,使得干燥过程中物料始终保持较好的刚性,不易发生严重变形。同时,细胞与细胞之间均有孔隙,大小不一,在同一平面上类似中空筛网结构,这种结构为物料内部水分的流动与排除提供了通道。

自然干燥、热风干燥和真空干燥的莲子中淀粉颗粒清晰可见,镶嵌于细胞内。这是由于自然干燥、热风干燥、真空干燥这3种干燥方式的温度都未达到莲子淀粉的糊化温度,因此淀粉颗粒保持完整。而真空冷冻干燥的莲子切片却未见淀粉颗粒,这可能是由于低温干燥使得淀粉颗粒脱水后较为独立,无法附着在细胞壁上,在切片时脱落。但这4种干燥方法均使莲子的细胞组织结构发生了明显的变形和皱缩,细胞壁结构受到不同程度破坏,其原因可能是:这4种干燥工艺的热传导过程都是由表及里,干燥时样品表面存在着2种不同相态的水,形成了较大的表面张力,从而引发了强烈的扭曲变形及塌陷和皱缩,其中真空冷冻干燥最为强烈。干燥过程中的皱缩使得淀粉颗粒被包埋得更紧密些,不易被酶所水解,因此这4种干燥方法大大提高了莲子的RS含量。

而莲子经过微波处理后,淀粉颗粒在微波热效应的作用下,在细胞内糊化而聚合成一团,充满整个细胞,并与细胞壁融合在一起。但细胞间的中空筛网结构却保持良好,以便水分的流动及排出。



注: A—细胞, B—孔隙, C—细胞皱缩, D—淀粉颗粒, E—结构变形, F—结构塌陷, G—结构扭曲, H—淀粉颗粒“融合”, I—中空筛网结构

图 2 莲子的组织结构(SEM, $\times 1500$ 倍)

Fig. 2 Micro-structure of lotus-seed(SEM, $\times 1500$)

3 结 论

- 1) 不同干燥工艺对莲子收缩率的影响不同,按体积的收缩程度可排列为:冷冻干燥<微波干燥<微波—热风联合干燥<热风干燥<自然干燥<真空干燥。
- 2) 在 6 种不同干燥工艺中,冷冻干燥莲子的复水率最高,复水性能最好,其次为微波—热风联合干燥,自然干燥、热风干燥、真空干燥和微波干燥莲子的复水率较低。
- 3) 自然干燥、热风干燥、真空干燥和冷冻干燥莲子的 RS 含量较高,微波—热风联合干燥和微波干燥的 RS 含量较低,提示微波加热会大大降低莲子中 RS 的含量。
- 4) 6 种干燥工艺加工的莲子色泽以微波—热风联合干燥最佳,最接近于莲子的原始色泽参数值,其次为微波干燥和真空干燥,自然干燥、热风干燥、冷冻干燥莲子的色泽均较差。
- 5) 自然干燥、热风干燥和真空干燥莲子的组织结构均发生了明显的变形和皱缩,细胞壁结构受到不同程度破坏,部分淀粉颗粒裸露在细胞壁外;而微波干燥和微波—热风干燥则能够较好地保持莲子的原始组织结构。

度破坏,部分淀粉颗粒裸露在细胞壁外;而微波干燥和微波—热风干燥则能够较好地保持莲子的原始组织结构。

综合考虑,微波—热风联合干燥后的莲子除 RS 含量较低外,其他品质均较优,可作为最佳干燥方法应用于生产。

[参 考 文 献]

- [1] 宋洪波,毛志怀. 干燥方法对植物产品物理特性影响的研究进展[J]. 农业机械学报, 2005, 36(6): 117- 121.
- [2] 郑素霞,李远志,罗树灿,等. 微波对苹果脆片干燥特性的影响[J]. 华南农业大学学报, 2004, 25(3): 109- 111.
- [3] 赵晋府. 食品工艺学[M]. 北京:中国轻工业出版社, 1999: 388.
- [4] 佟月英,孙永海,石晶. 干燥方法对营养强化方便米饭复水性的影响[J]. 农业机械学报, 2003, 34(2): 54- 57.
- [5] Goni I, Garcia-Diz L, Manas E, et al. Analysis of resistant starch: a method for foods and food products [J]. Food Chemistry, 1996, 56(4): 445- 449.
- [6] 郭素枝. 扫描电镜技术及其应用[M]. 厦门:厦门大学出版

- 社, 2006: 1- 12.
- [7] Englyst H N, Kingman S M, Cummings J H. Classification and measurement of nutritionally important starch fractions [J]. European Journal of Clinical Nutrition, 1992, 46(Suppl. 2): 30- 50.
- [8] Croghan M. Novelose, resistant starch: a novelty in the functional fibre sector [J]. Alimentaria, 1995, 261: 37- 41.
- [9] Ranhotra G S, Gelroth J A, Glaser B K. Effect of resistant starch on blood and liver lipids in hamsters [J]. Cereal Chem, 1996, 73(2): 176- 178.
- [10] 余焕玲, 阙建全, 陈宗道. 影响抗性淀粉形成因素 [J]. 粮食与油脂, 2001, (4): 29- 31.
- [11] 赵国华, 阙建全, 李洪军, 等. 食品中抗性淀粉的研究进展 [J]. 中国粮油学报, 1999, 14(4): 37- 41.

Effects of different drying technology on the quality of lotus-seed

Zeng Shaoxiao, Liang Jing, Zheng Baodong^{*}, Zhao Yangfan, Lin Yuanyuan

(Institution of Food science and technology, Fujian Agriculture and Forestry University, Fuzhou 350002, China)

Abstract: Effects of different drying technology (sun drying, hot-air drying, vacuum drying, freezing drying, microwave drying and combined microwave and hot-air drying) on the shrinkage, rehydration ratio, resistant starch (RS) content, color and organization structure of lotus-seed were studied. The results show that lotus-seeds obtain less shrinkage, higher rehydration ratio, lower RS content, less distortion and better color by combined microwave and hot-air drying. Its color and organization structure is close to the fresh lotus-seed. The quality of lotus-seed by microwave drying is next to those by combined microwave and hot-air drying. Freezing drying makes lotus-seeds the least shrinkage and the highest rehydration ratio, but higher RS content, worse color and obvious distortion and shrinkage. The quality of lotus-seeds by sun drying, hot-air drying and vacuum drying are inferior to the others. So combined microwave and hot-air drying is the optimal technology.

Key words: lotus-seed; drying technologies; shrinkage; rehydration ratio; resistant starch; color; organization structure